

ИССЛЕДОВАНИЕ ПУСКА СИНХРОННОГО ЭЛЕКТРИЧЕСКОГО ДВИГАТЕЛЯ НА МАТЕМАТИЧЕСКОЙ МОДЕЛИ

На предприятиях горно-металлургической отрасли Украины эксплуатируется значительное количество синхронных электрических двигателей типов СТД и СТДП.

Пуск синхронных электрических двигателей (СЭД), предназначенных, как правило, для механизмов имеющих большие моменты инерции, согласно ПУЭ, должен производиться от пониженного напряжения для чего применяются пусковые устройства различных видов и структур в т.ч. на основе полупроводниковых преобразователей электрической энергии [1].

Одной из базовых задач в определении направления и тактики исследований по разработке и практической реализации энергоэффективных систем и законов управления ими для пуска СЭД является построение адекватной математической модели двигателя в различных системах координат и изучение с её помощью передаточных функций по различным управляющим воздействиям.

Разработка математической модели синхронного электрического двигателя в различных системах координат и изучение на ее основе передаточных функций по соответствующим управляющим воздействиям для синтеза регуляторов при векторном и частотном управлении уровнем напряжения их питания.

В основу построения математической модели положена обобщенная система дифференциальных уравнений явноточного СЭД Парка – Горева в векторной форме записи [2, 3]:

$$\begin{cases} \bar{U}_s = \frac{d\bar{\Psi}_s}{dt} + j\omega_k \bar{\Psi}_s + \bar{I}_s \cdot R_s; \\ \bar{U}_R = \frac{d\bar{\Psi}_R}{dt} + j(\omega_k - \omega) \cdot \bar{\Psi}_R + \bar{I}_R \cdot R_R; \\ \bar{U}_f = \frac{d\bar{\Psi}_f}{dt} + j(\omega_k - \omega) \cdot \bar{\Psi}_f + \bar{I}_f \cdot R_f, \end{cases} \quad (1)$$

Для достижения цели данного исследования выберем неподвижную ($\omega_k=0$) систему координат α и β , координаты переменных обозначены индексами $\rightarrow A, B$.

Примем следующие обозначения: ω – угловая частота вращения ротора, ω_k – угловая частота вращения выбранной системы координат, U – напряжение, I – ток, Ψ – потокосцепление, R – сопротивление, (индекс s – относится к параметрам статора, соответственно индекс R – относится к соответствующим параметрам роторной обмотки; индекс f – к параметрам обмотки возбуждения; индексы SR, Rf, Sf – параметрам взаимной индукции между обмотками).

Введем коэффициенты:

$$\begin{aligned} A &= 1 / (L_s L_R - L_{SR}^2) \\ A_1 &= 1 / (L_f L_R - L_{Rf}^2) \\ A_2 &= 1 / (L_f L_s - L_{Sf}^2) \end{aligned} \quad (2)$$

При этом взаимосвязь токов и потоков можно представить в виде:

$$\begin{cases} \bar{\Psi}_s = \bar{I}_s L_s + \bar{I}_R L_{SR} + \bar{I}_f L_{Sf}; \\ \bar{\Psi}_R = \bar{I}_s L_{SR} + \bar{I}_R L_R + \bar{I}_f L_{Rf}; \\ \bar{\Psi}_f = \bar{I}_s L_{Sf} + \bar{I}_R L_{Rf} + \bar{I}_f L_f. \end{cases} \quad (3)$$

Используем систему координат: ток статора – поток ротора I_s, Ψ_s для демпферной обмотки и обмотки возбуждения, а для статорной обмотки примем фазную систему координат.

Тогда токи статора в осях:

$$\begin{aligned} I_{SA} &= 1.5 \cdot I_A \\ I_{SB} &= 0.866 \cdot (I_B - I_C) \\ I_s &= \sqrt{I_{SA}^2 + I_{SB}^2} \end{aligned} \quad (4)$$

Потокосцепление статора, демпферных обмоток и обмотки возбуждения:

$$\begin{aligned}
\Psi_{SA} &= (I_{SA} / A + \Psi_{RA} \cdot L_{SR} + \Psi_f \cdot L_{Sf}) / L_S \\
\Psi_{SB} &= (I_{SB} / A + \Psi_{RB} \cdot L_{SR}) / L_S \\
\Psi_S &= \sqrt{\Psi_{SA}^2 + \Psi_{SB}^2} \\
\Psi_{Ra} &= (I_{RA} / A_1 + \Psi_{RA} \cdot L_{SR} + \Psi_f \cdot L_{Rf}) / L_R \\
\Psi_{RB} &= (I_{RB} / A_1 + \Psi_{RB} \cdot L_{SR}) / L_R \\
\Psi_R &= \sqrt{\Psi_{Ra}^2 + \Psi_{RB}^2} \\
\Psi_{fA} &= (I_{SA} / A_2 + \Psi_{RA} \cdot L_{Rf} + \Psi_{SA} \cdot L_{Sf}) / L_f \\
\Psi_{fB} &= (I_{SB} / A_2 + \Psi_{RB} \cdot L_{Rf} + \Psi_{SB} \cdot L_{Sf}) / L_f \\
\Psi_f &= \sqrt{\Psi_{fA}^2 + \Psi_{fB}^2}
\end{aligned} \tag{5}$$

Токи демпферной (пусковой) обмотки I_R :

$$\begin{aligned}
I_{RA} &= A \cdot \Psi_{RA} \cdot L_S - A \cdot \Psi_{SA} \cdot L_{SR} - A_1 \cdot \Psi_{fA} \cdot L_{Sf} \\
I_{RB} &= A \cdot \Psi_{RB} \cdot L_S - A \cdot \Psi_{SB} \cdot L_{SR} - A_1 \cdot \Psi_{fB} \cdot L_{Sf} \\
I_R &= \sqrt{I_{RA}^2 + I_{RB}^2}
\end{aligned} \tag{6}$$

Токи обмотки возбуждения I_f :

$$\begin{aligned}
I_{fA} &= \Psi_{fA} \cdot L_f + \Psi_{RA} \cdot L_{Rf} \cdot A_2 + \Psi_{SA} \cdot L_{Sf} \cdot A_1 \\
I_{fB} &= \Psi_{fB} \cdot L_f + \Psi_{RB} \cdot L_{Rf} \cdot A_2 + \Psi_{SB} \cdot L_{Sf} \cdot A_1 \\
I_f &= \sqrt{I_{fA}^2 + I_{fB}^2}
\end{aligned} \tag{7}$$

Определение электромагнитного момента:

$$M_E = 3L_{SA}(\Psi_{SA}\Psi_{RB} - \Psi_{SB}\Psi_{RA})/2 + 3L_{Sf}A_1(\Psi_{SA}\Psi_{fB} - \Psi_{SB}\Psi_{fA})/2 \tag{8}$$

Формирование фазы синусоидального питающего напряжения и модель напряжений синхронного двигателя в трехфазных координатах:

$$\begin{aligned}
\frac{d\theta_C}{dt} &= \omega_C \\
\theta_C &= \theta_C - 2\pi \text{ если } \theta_C > 2\pi \\
U_a &= U_m \sin(\theta_C) \\
U_b &= U_m \sin(\theta_C + 2\pi/3) \\
U_c &= U_m \sin(\theta_C - 2\pi/3)
\end{aligned} \tag{9}$$

Уравнения движения ротора примет вид:

$$\frac{d\omega}{dt} = (M_E - M_H) / J \tag{10}$$

где M_E – электромагнитный момент, развиваемый синхронным двигателем; M_H – момент нагрузки; J – момент инерции синхронного двигателя и механизма.

Уравнения для производных потокоцеплений демпферных контуров Ψ_R и обмотки возбуждения Ψ_f :

$$\begin{aligned}
\frac{d\Psi_{RA}}{dt} &= -I_{RA} R_R + \Psi_{RB} \omega + \Psi_{fB} \omega L_{Rf} / L_f \\
\frac{d\Psi_{RB}}{dt} &= -I_{RB} R_R - \Psi_{RA} \omega - \Psi_{fA} \omega L_{Rf} / L_f \\
\frac{d\Psi_{fA}}{dt} &= -I_f R_f + \Psi_{fB} \omega + \Psi_{RA} \omega L_{Rf} / L_f + u_f \sin \theta_{Uf} \\
\frac{d\Psi_{fB}}{dt} &= -I_f R_f - \Psi_{fA} \omega - \Psi_{RA} \omega L_{Rf} / L_f - u_f \sin \theta_{Uf}
\end{aligned} \tag{11}$$

где θ_{Uf} – угол между вектором потока, создаваемым током обмоткой возбуждения и вектором напряжения.

Уравнения ЭДС цепи статора в трехфазной системе:

$$\begin{aligned}
E_{SA} &= \frac{3}{2} \left(\frac{d\Psi_a}{dt} \right) L_m / L_r - \Psi_a R_r / L_r + \Psi_b \omega + \omega \Psi_f \\
E_{SB} &= [-0.5 \left(\frac{d\Psi_a}{dt} \right) + \frac{d\Psi_b}{dt} \sqrt{3} / 2] L_m / L_r \\
E_{SC} &= [-0.5 \left(\frac{d\Psi_a}{dt} \right) - \frac{d\Psi_b}{dt} \sqrt{3} / 2] L_m / L_r
\end{aligned} \tag{12}$$

Производные потокоцепления статора в трехфазной системе:

$$\begin{aligned}
\frac{d\Psi_a}{dt} &= (U_{sa} - I_a R_s - E_{sa}) A L_s \\
\frac{d\Psi_b}{dt} &= (U_{sb} - I_b R_s - E_{sb}) A L_s \\
\frac{d\Psi_c}{dt} &= (U_{sc} - I_c R_s - E_{sc}) A L_s
\end{aligned} \tag{13}$$

Уравнения 11–13 с уравнениями связи составляют:

$$M_E = \frac{3L_{SR}A(\Psi_{SA}\Psi_{RB} - \Psi_{SB}\Psi_{RA}) + 3L_{IS}A(\Psi_{Sa}\Psi_{Rb} - \Psi_{Sb}\Psi_{Ra})}{2}$$

$$\frac{d\omega}{dt} = \frac{M_E + M_H}{j}$$

$$\frac{d\omega}{dt} = \omega \quad (14)$$

Полученная модель является нелинейной за счет наличия перекрестных связей по моменту и противо-ЭДС вращения, наводимых в обмотках двигателя.

Решение, полученных уравнений (14) позволяет исследовать переходные процессы в явнополюсном или неявнополюсном СЭД с различными законами формирования фазных напряжений двигателя, потока возбуждения и нагрузки.

Для решения поставленной задачи используем программную среду Фортран.

Адекватность модели синхронного двигателя в координатах ток статора I_s – потокосцепление статора – Ψ_s подтверждается результатами расчетов, приведенных на рис. 1 совпадающих с результатами опубликованными в технической литературе.

В действительности в СЭД имеет место магнитное насыщение стали. Учет эффекта насыщения следует производить с помощью ограничения магнитного потока стали статора и ротора. Эффект насыщения осуществляется алгоритмом:

$$\text{если } \Psi_s > \Psi_{Nas}, \text{ то } \Psi_s = \Psi_{Nas} \quad \text{если } \Psi_R > \Psi_{Nas}, \text{ то } \Psi_R = \Psi_{Nas} \quad (15)$$

На рис. 2 приведены графики переходных процессов в синхронном двигателе с учетом насыщения стали. Намагничивание стали моделировалось системой уравнений (15).

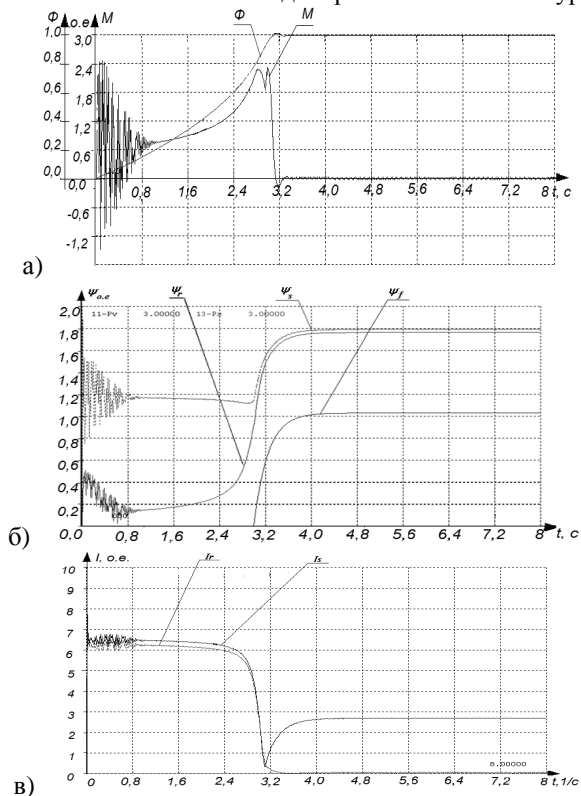


Рис. 1 Машинограммы переходных процессов синхронного двигателя при прямом пуске: а) по моменту M и частоте вращения ω (Φ); б) по потокосцеплениям статора, ротора и возбуждения; в) по току статора и ротора.

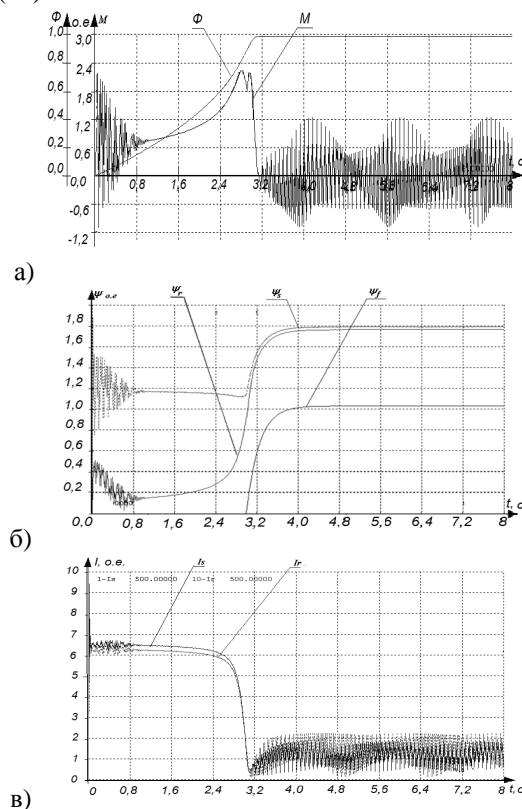


Рис. 2 Машинограммы переходных процессов синхронного двигателя при прямом пуске с учетом насыщения стали: а) по моменту – M и частоте вращения ω (Φ); б) по потокосцеплениям статора, ротора, возбуждения и частоте вращения; в) по току статора и ротора.

Дополнительным основным моментом пуска СЭД является и то, что из-за насыщения стали имеет место факт ограничение потокосцепления, что ухудшает динамику систем.

Улучшить динамические и энергетические показатели при пуске синхронного двигателя можно, используя плавный пуск – линейно изменяющихся во времени напряжения и частоты.

На рис. 3 приведены машинограммы переходных процессов синхронного двигателя при плавном пуске с учетом насыщения стали

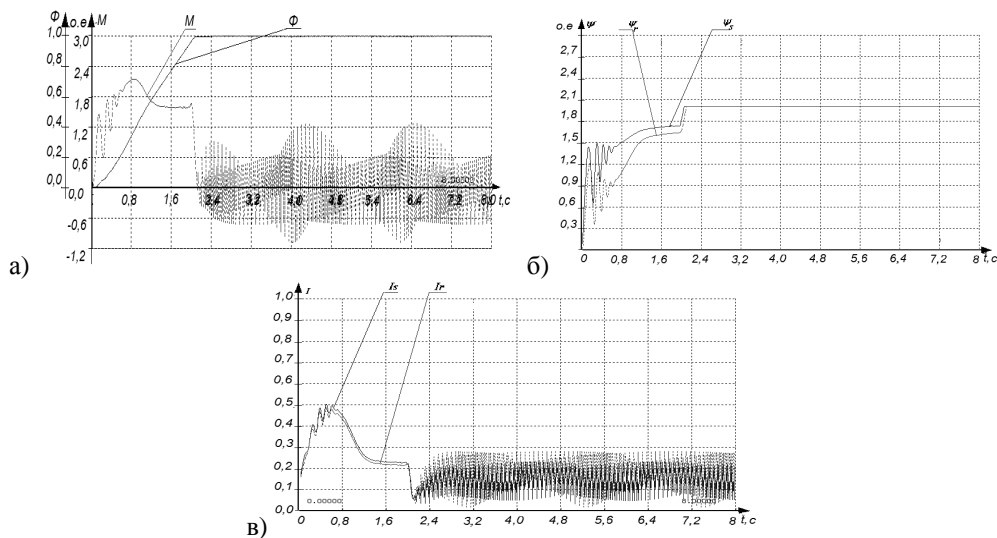


Рис. 3 Машинограммы переходных процессов синхронного двигателя при плавном пуске с учетом насыщения стали:
 а) по моменту – M и частоте вращения – ω (Φ); б) по потокосцеплениям статора, ротора, возбуждения и частоте вращения; в) по току статора и ротора.

Анализ полученных результатов показывает, что при линейном задании пуск происходит в 2 раза быстрее, а момент при низких скоростях вращения не имеет высокочастотных составляющих (рис. 3, а). Потокосцепление при низких частотах так же не имеет высокочастотных составляющих (рис.3, б) и ограничено насыщением стали. Переходные процессы по токам статора и ротора СЭД представлены на рис.3.в.

На рис. 4 приведены кривые потребления электроэнергии для рассматриваемых моделей.

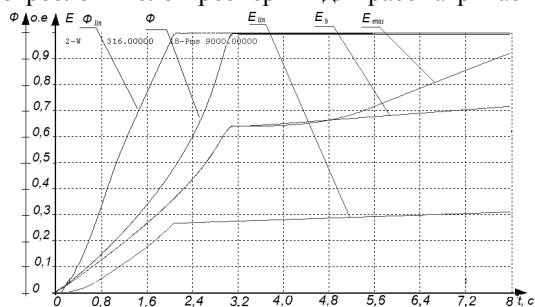


Рис. 4 Графики потребления электроэнергии при прямом пуске E_e , пуске с учетом насыщения E_{enas} и при линейном пуске E_{lin} .

Из полученных результатов видно, что при линейном пуске потребление электрической энергии на 30–40% ниже, чем при прямом пуске.

Предложенные математические модели синхронного двигателя адекватно отражают процессы, протекающие в реальном двигателе и могут быть использованы для исследований по оценке эффективности применения различных пусковых устройств и законов управления ими для СЭД.

Насыщение стали синхронного двигателя приводит к возникновению высокочастотных колебаний, модулируемых низкочастотными колебаниями. Амплитуда пиков тока может достигать 40–90% от номинальных значений тока.

Потребление электроэнергии при линейном пуске с помощью IGBT-преобразователей на 30–40% меньше, чем при прямом пуске.

Список использованной литературы

1. Синчук И.О. Полупроводниковые преобразователи электрической энергии в структурах электроприводов. Схемотехника и принципы управления./ Синчук И.О., Чернышев А.А., Киба И.И., Пасько О.В., Ключка О.Е., Мельник О.Е./ Учебное пособие. Под редакцией проф. Синчука О.Н. – Кременчуг, Вид. Щербатих О.В., 2008. – 88с.
2. Зеленов А.Б. Теория электропривода: Учебное пособие. Часть I. – Алчевск: ДонГТУ, 2005. – 394 с.
3. Башарин А.В., Постников Ю.В. Примеры расчета автоматизированного электропривода на ЭВМ. – Л.: Энергоатомиздат. Ленингр. отд-ние, 1990. – 512с.